

FIG. 1

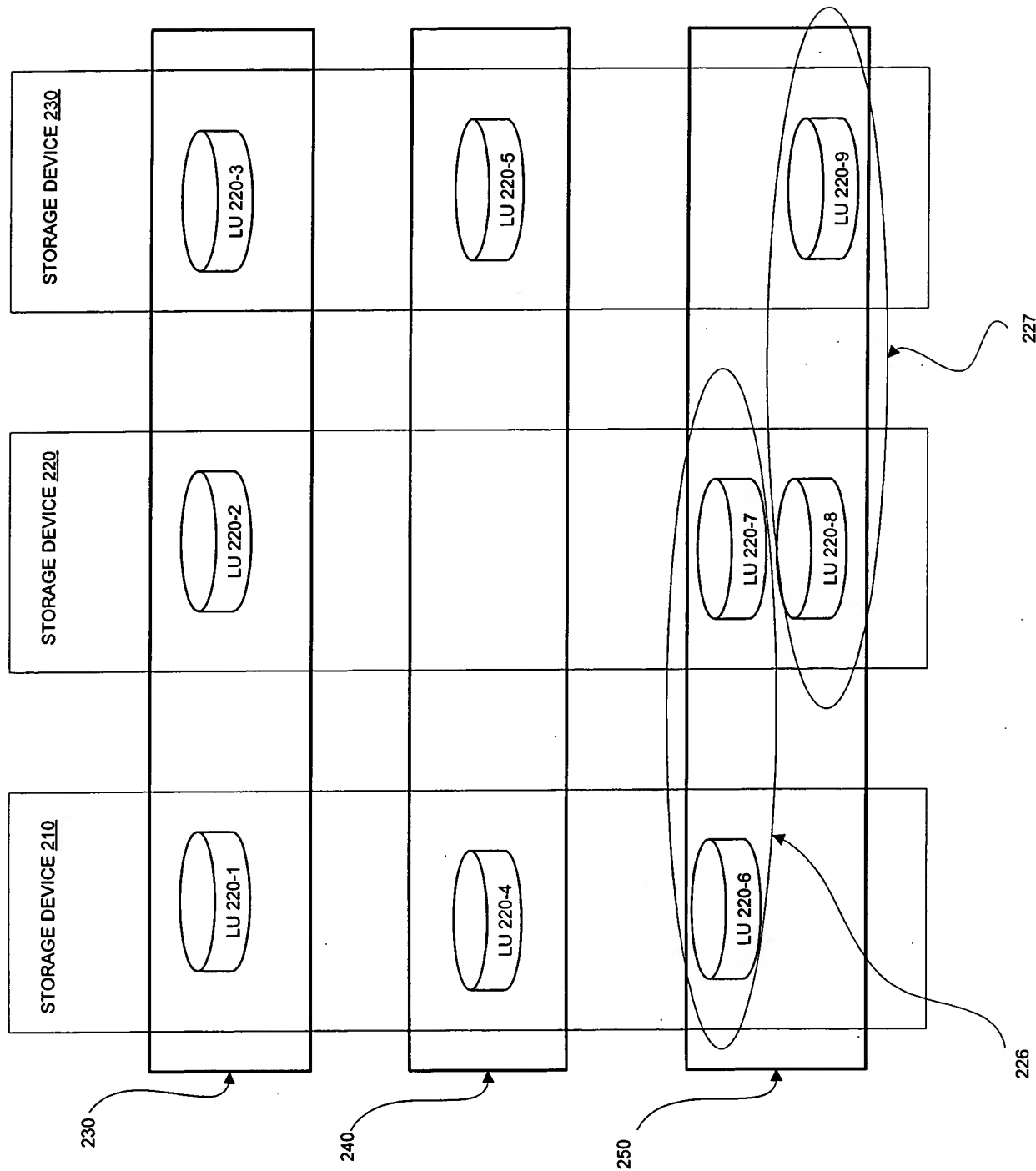


FIG. 2

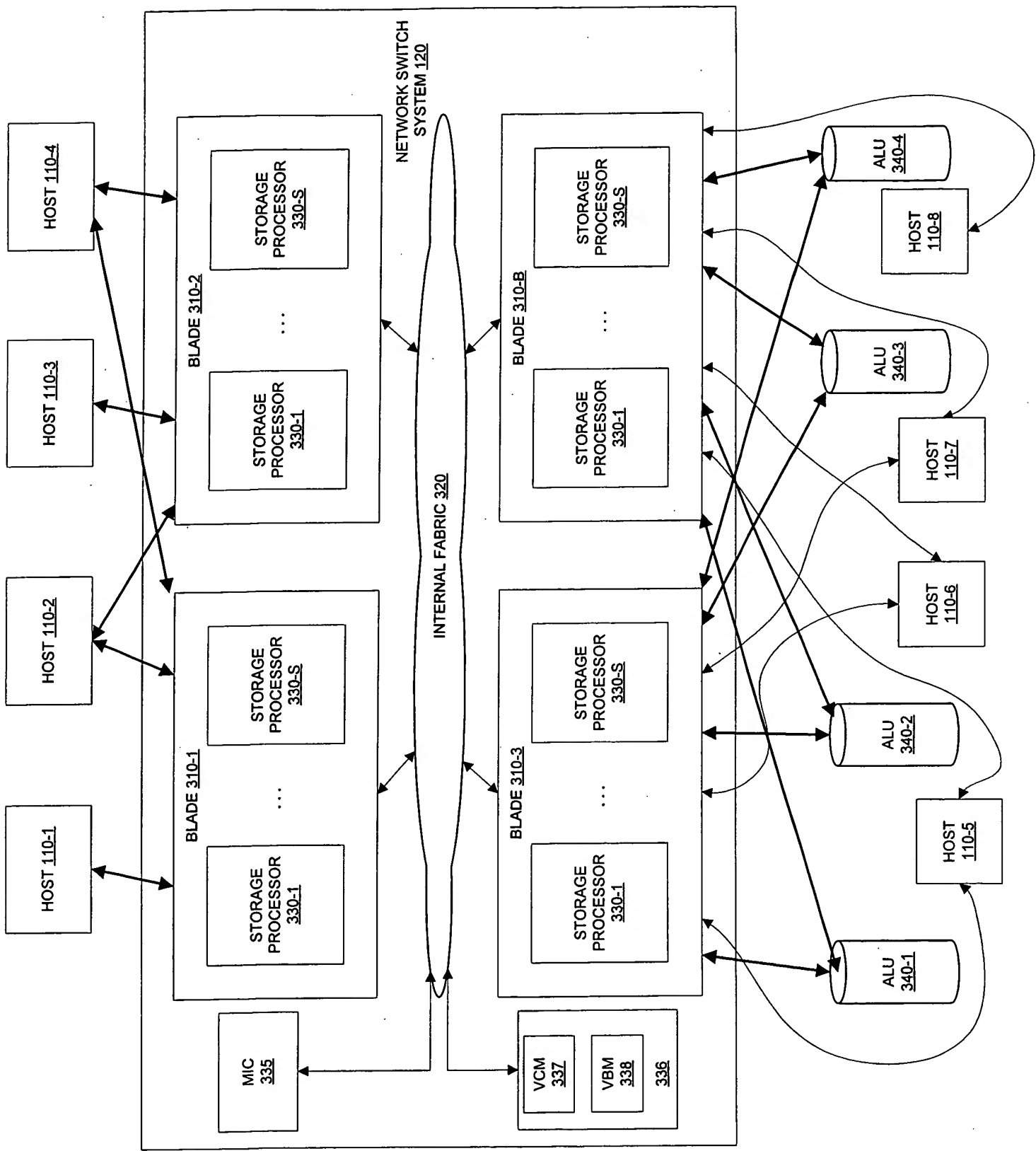
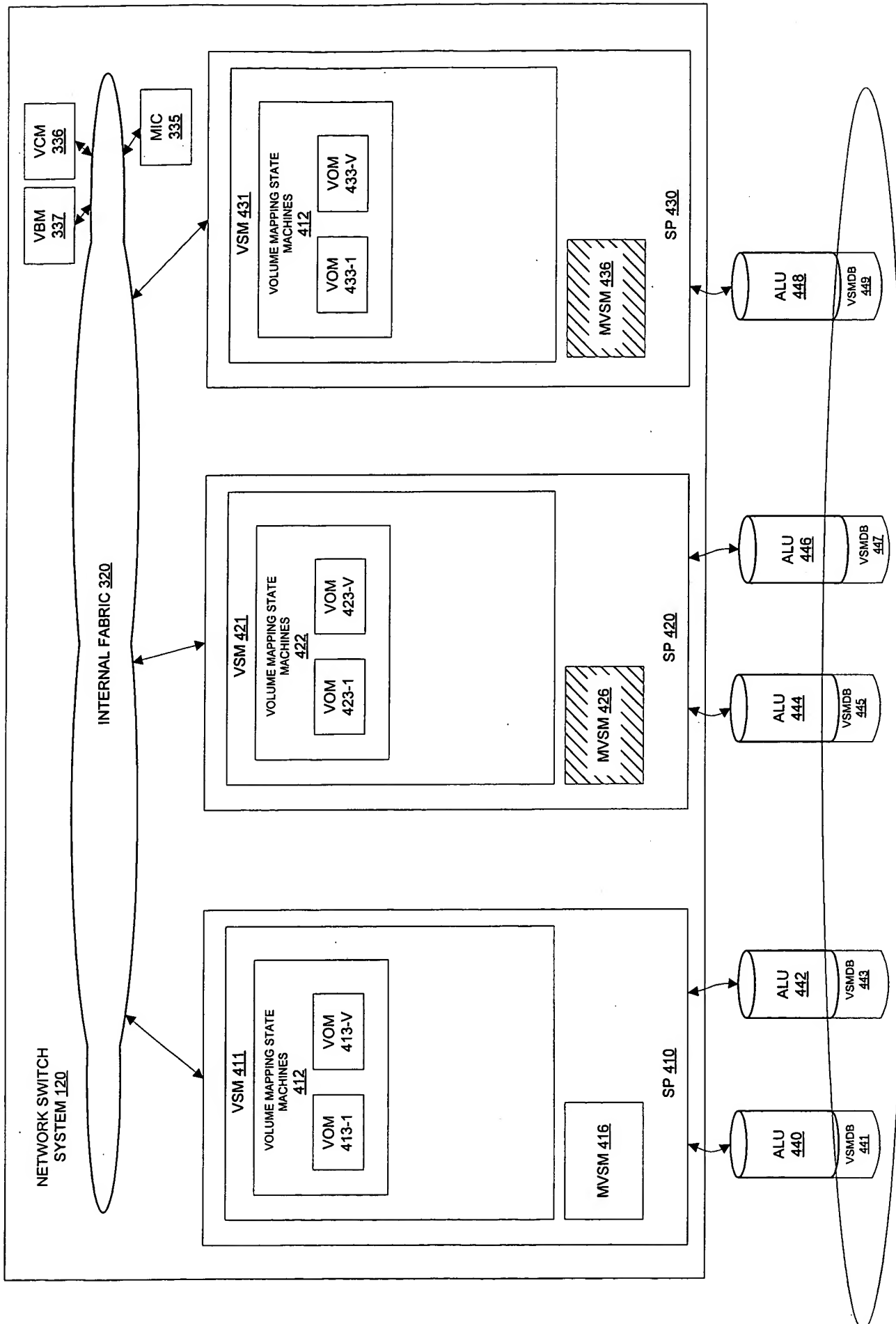
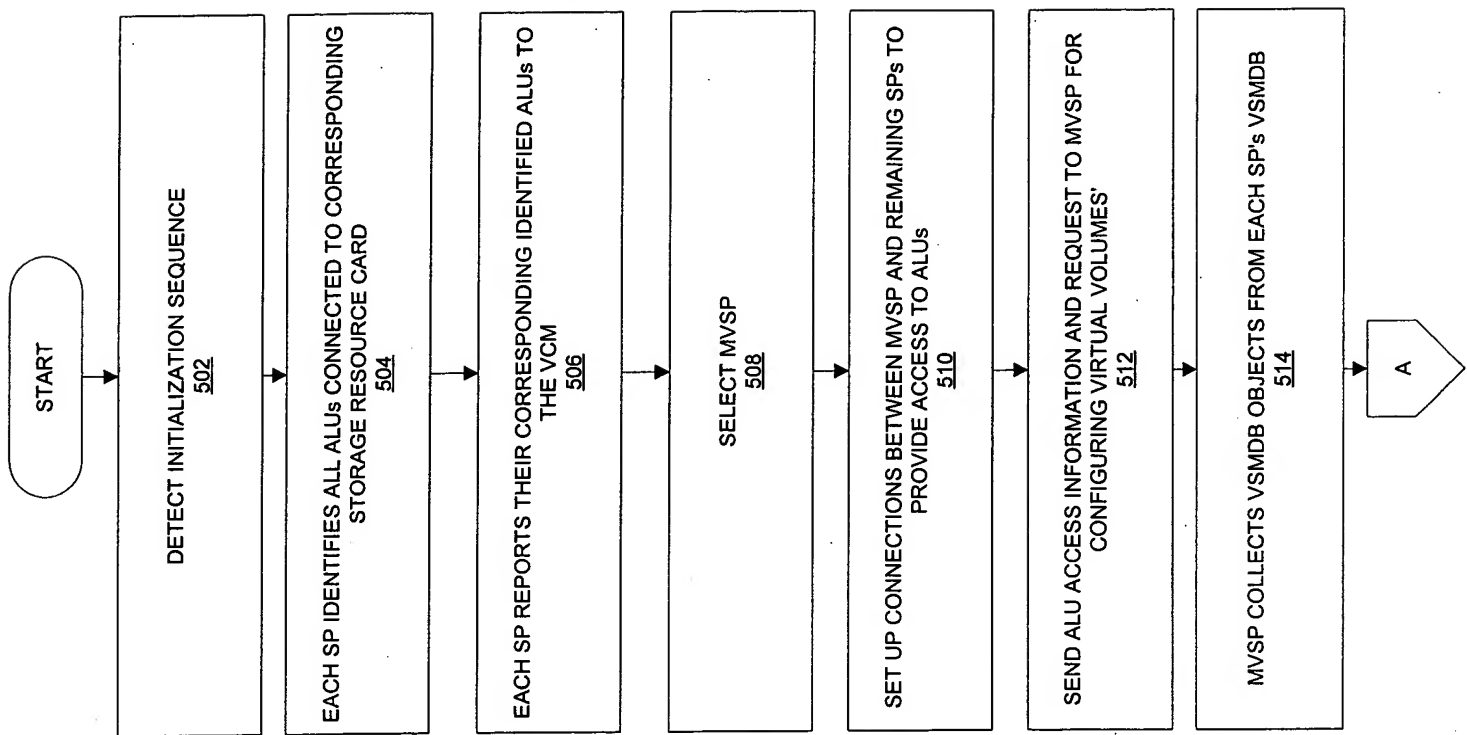


FIG. 3



**FIG. 4**

FIG. 5A



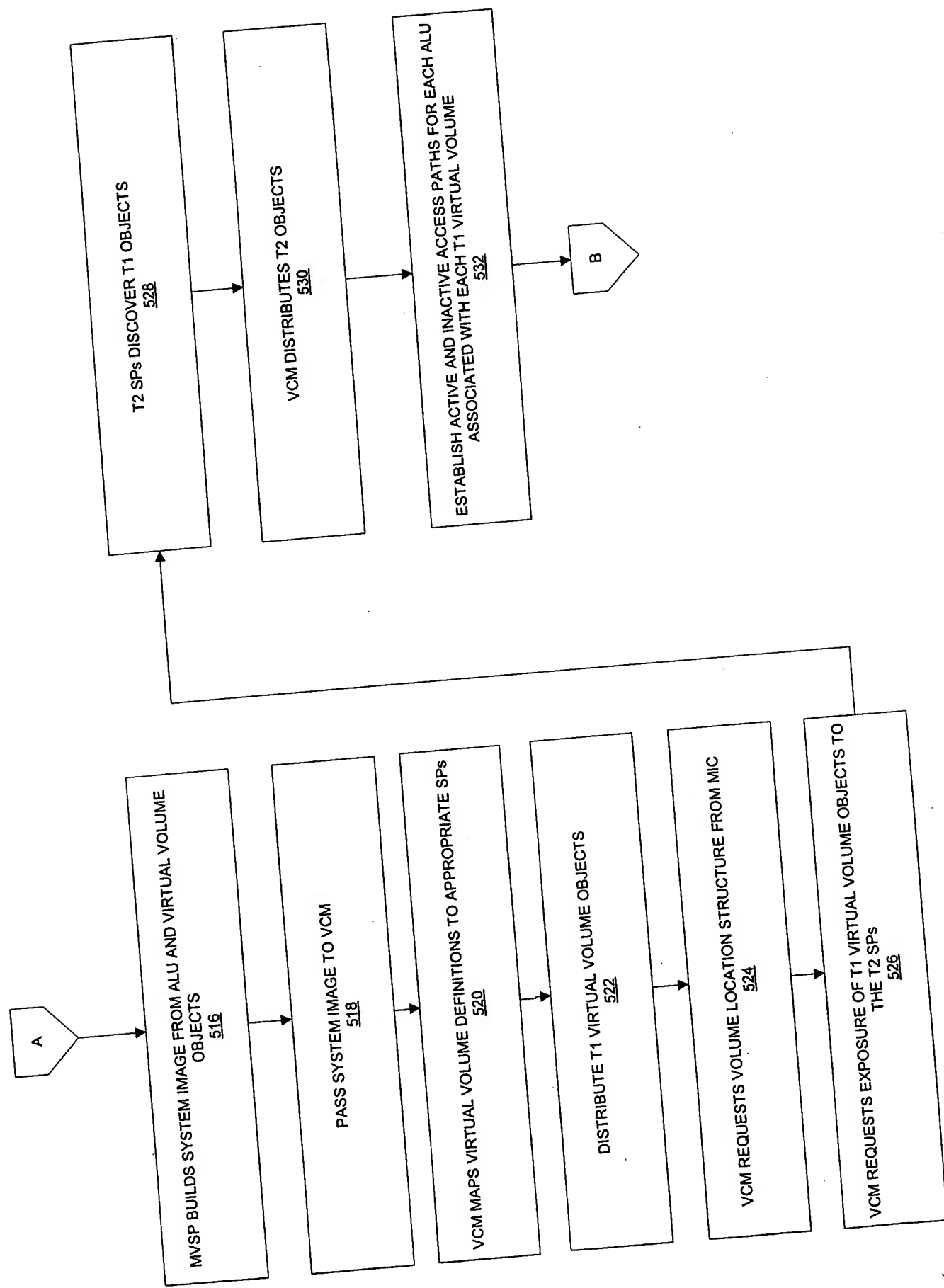


FIG. 5B

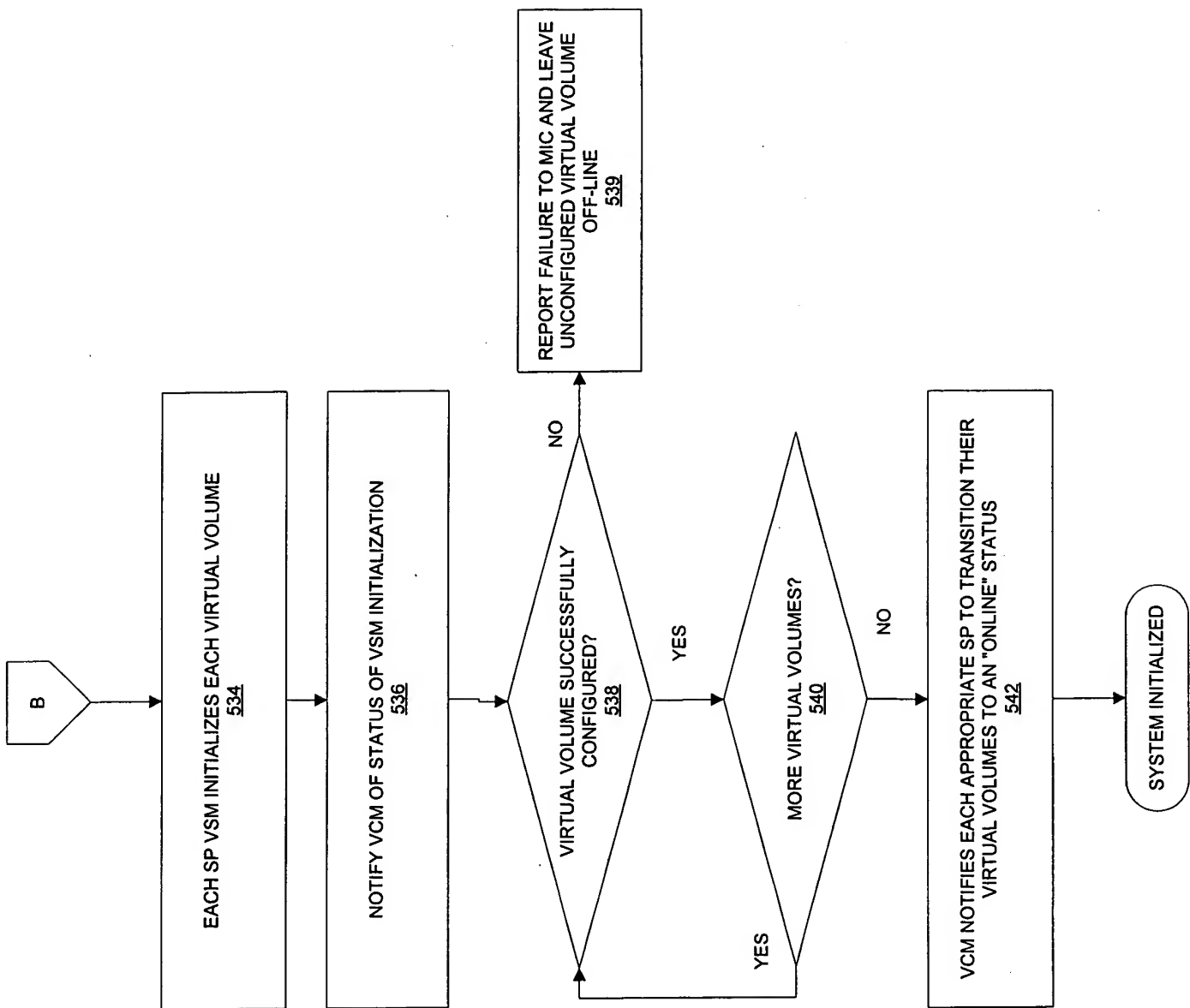
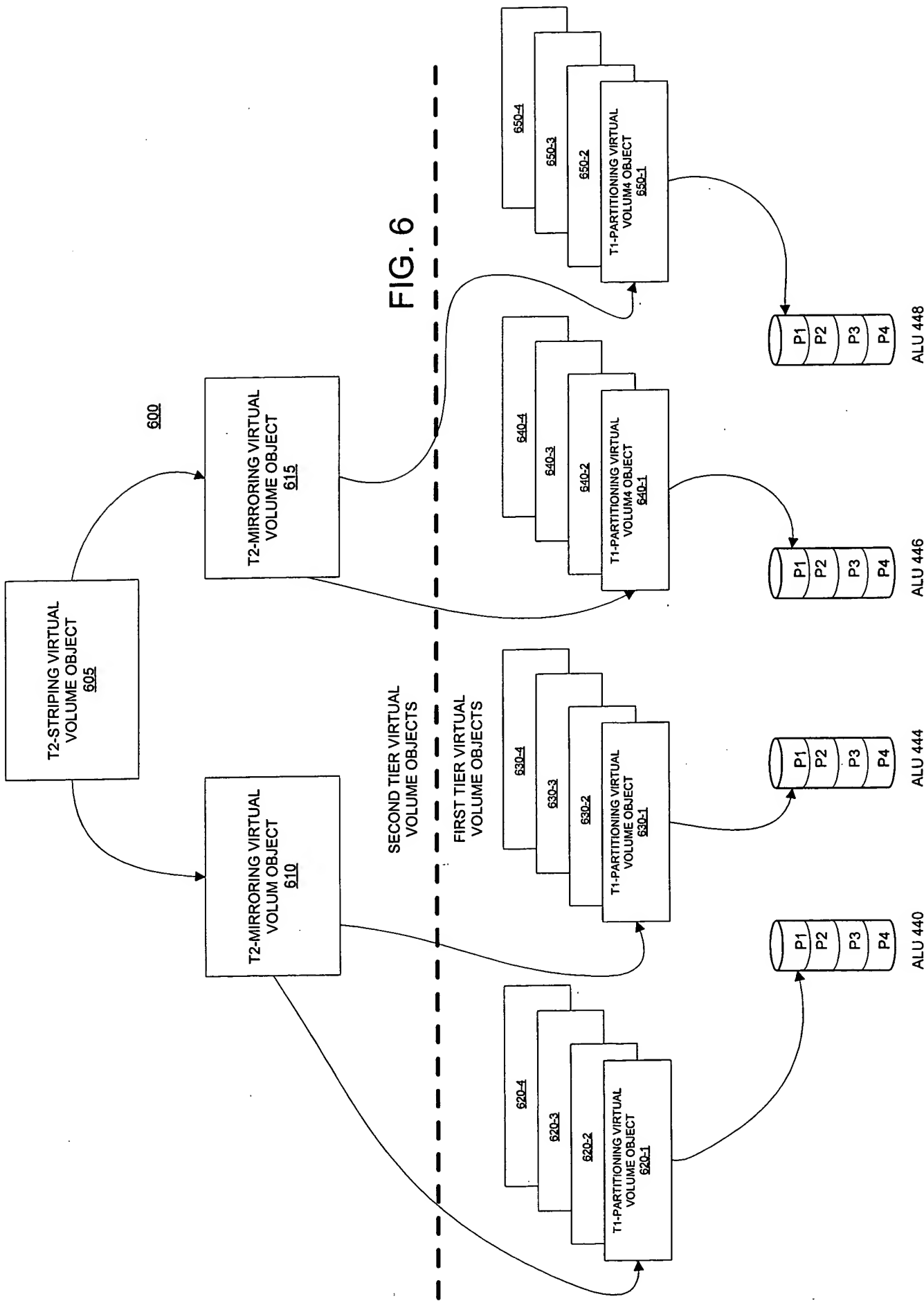
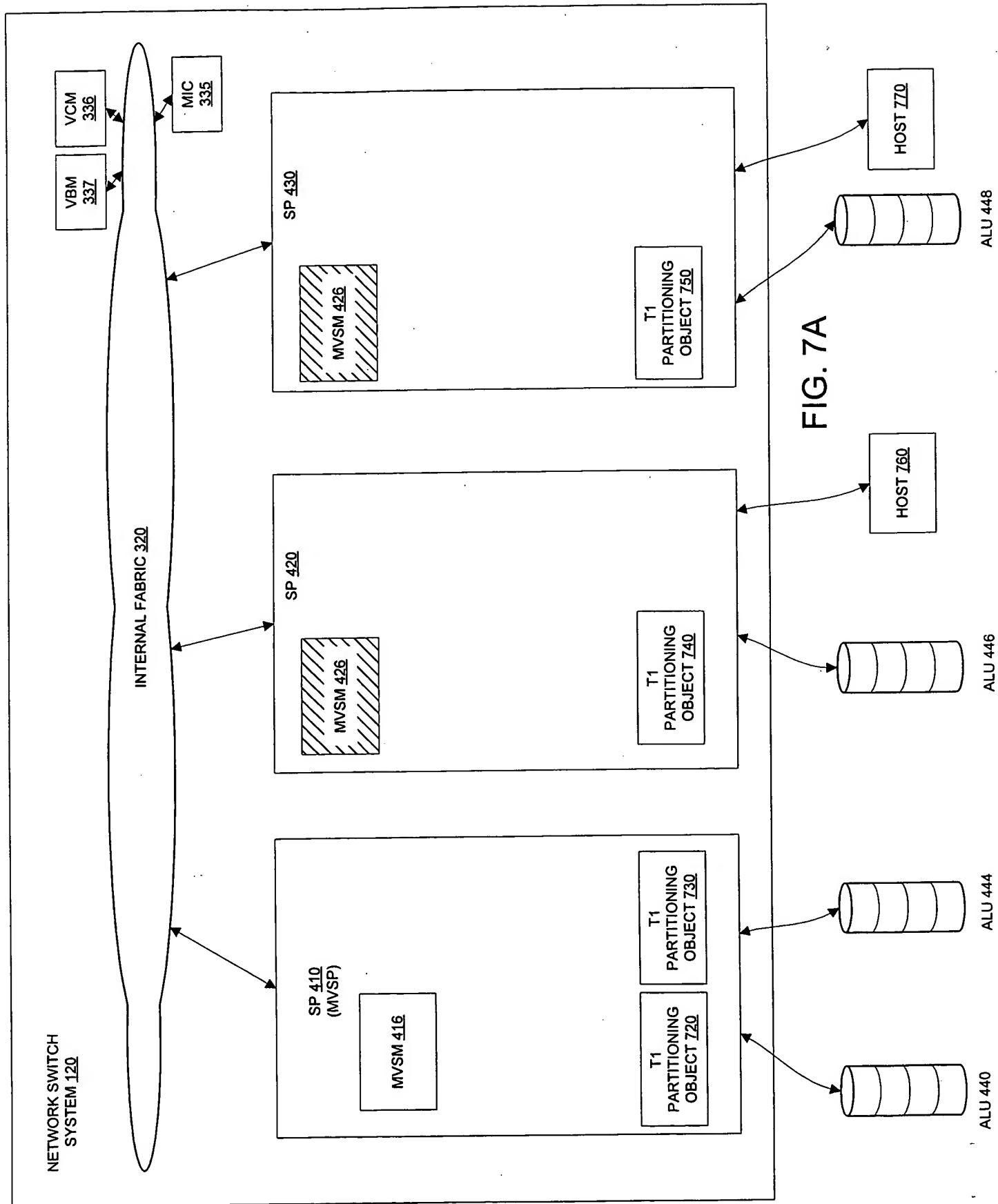
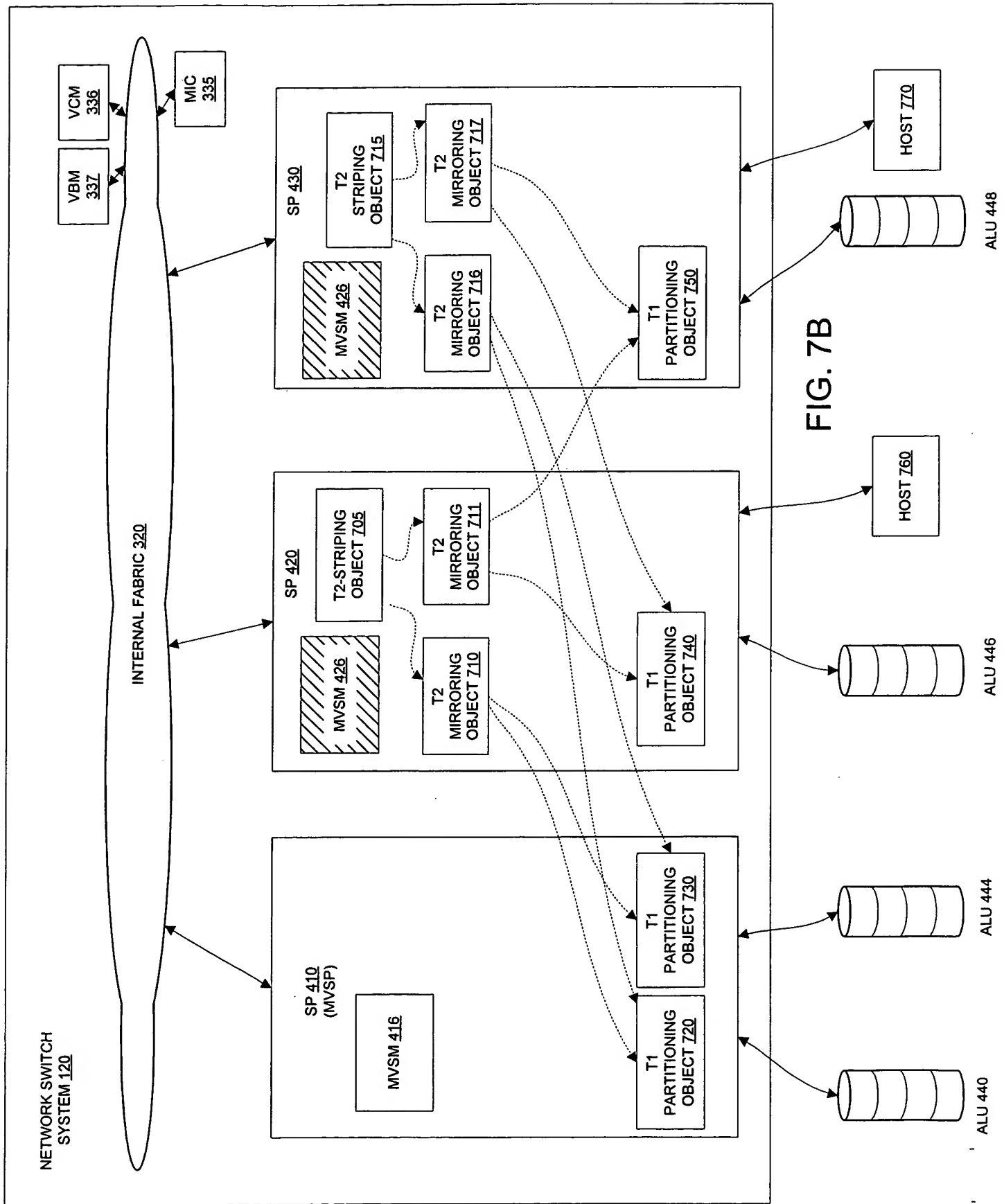


FIG. 5C

FIG. 6







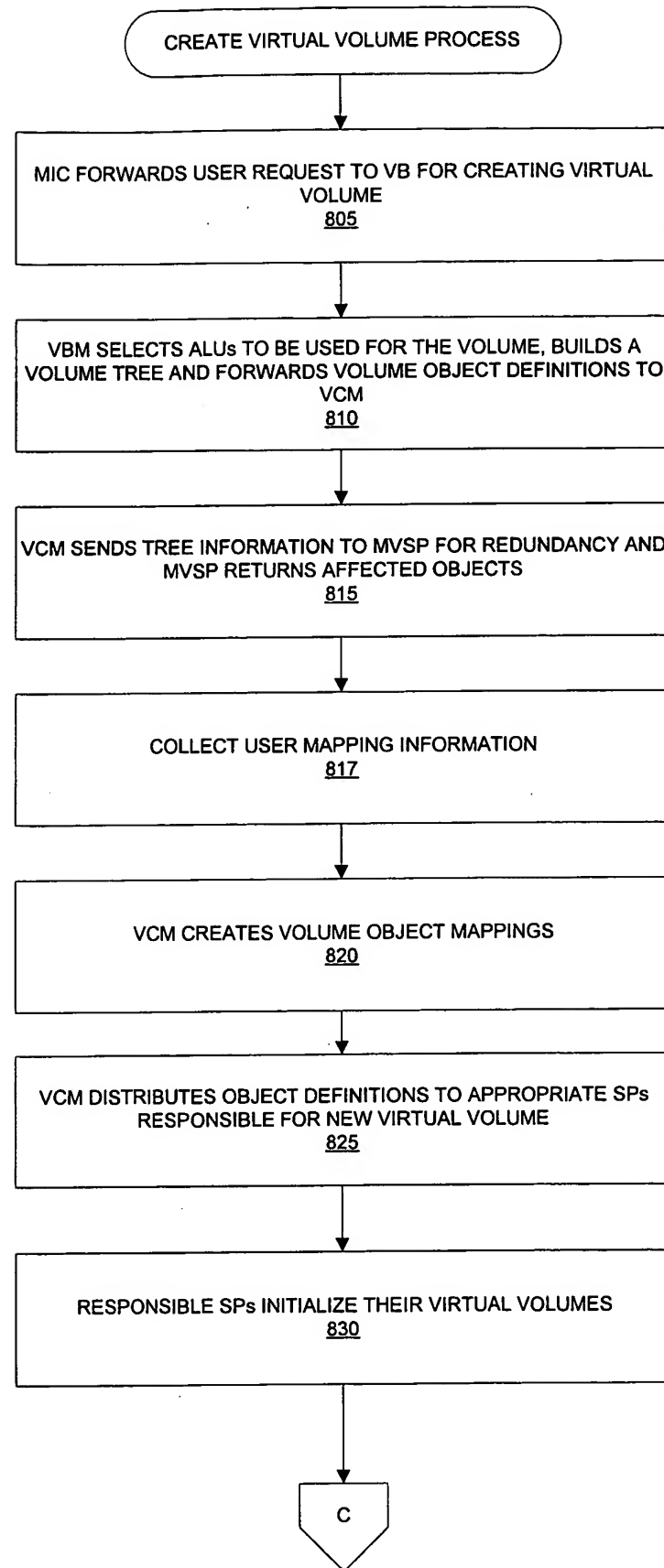


FIG. 8A

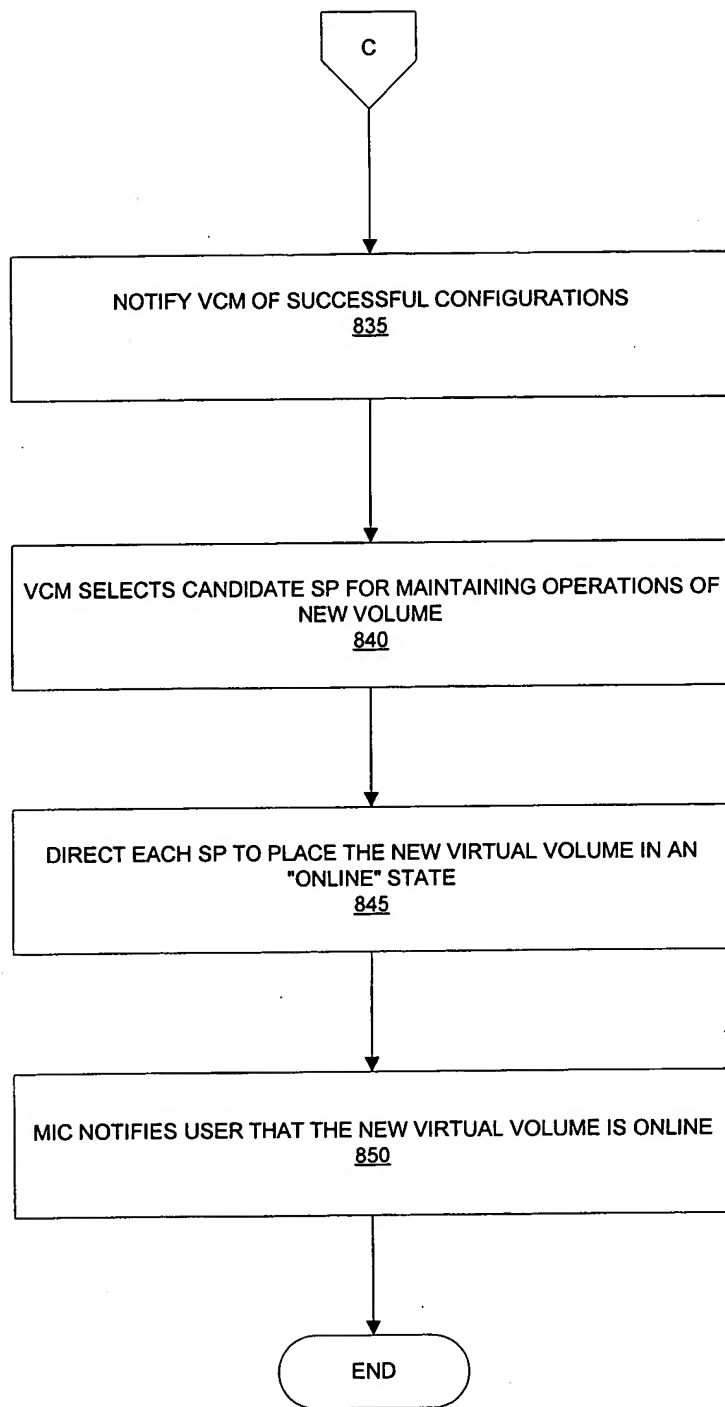
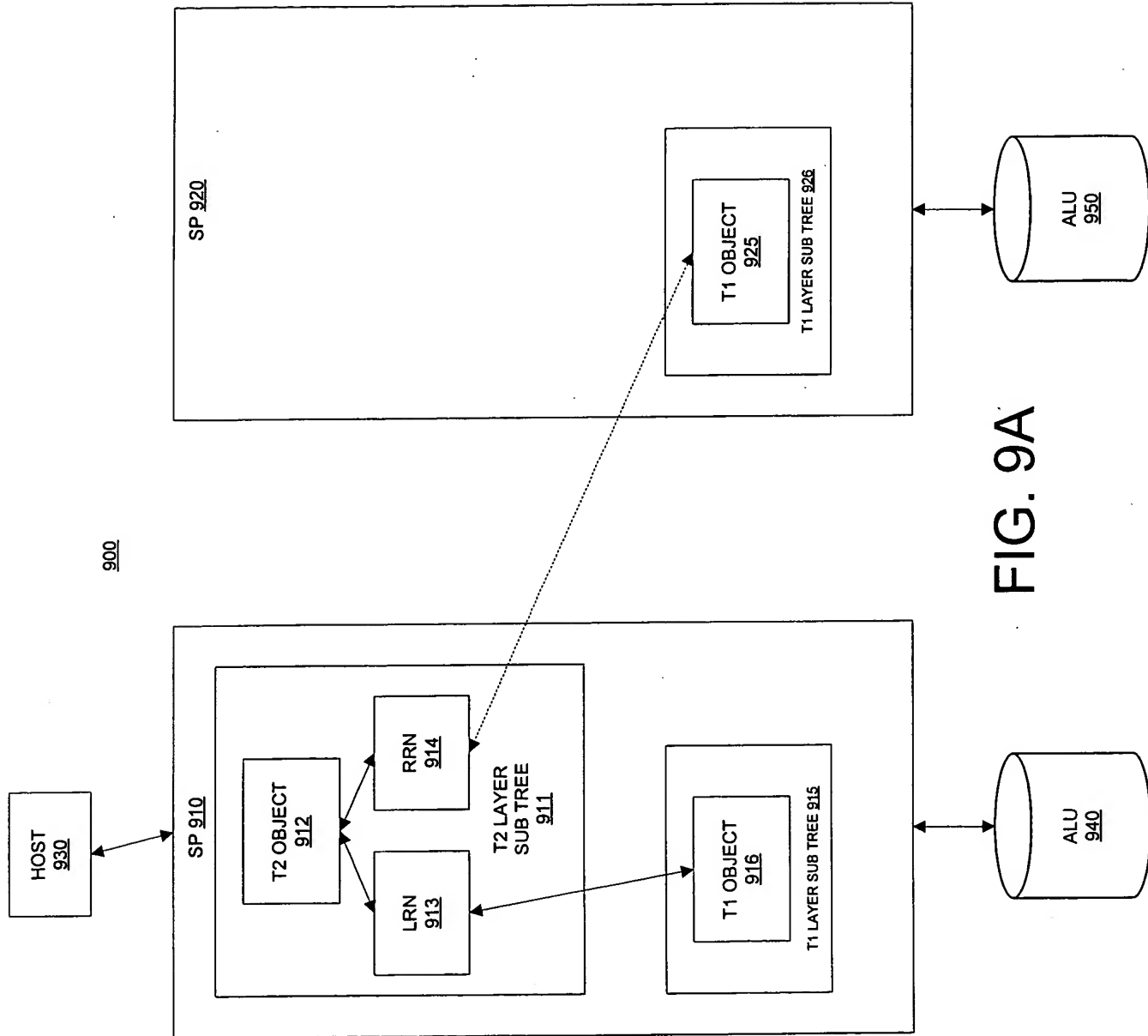


FIG. 8B

FIG. 9A



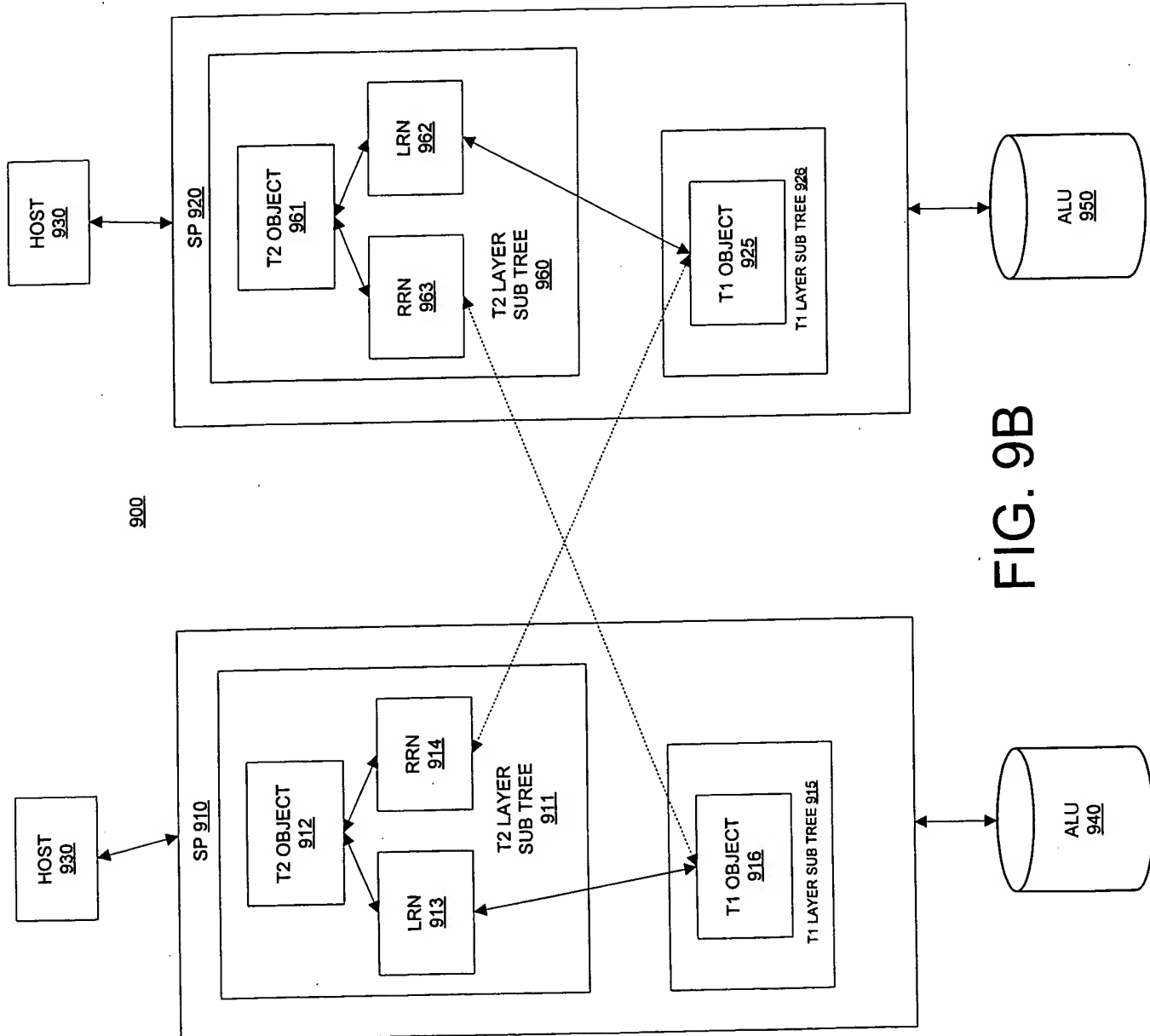


FIG. 9B

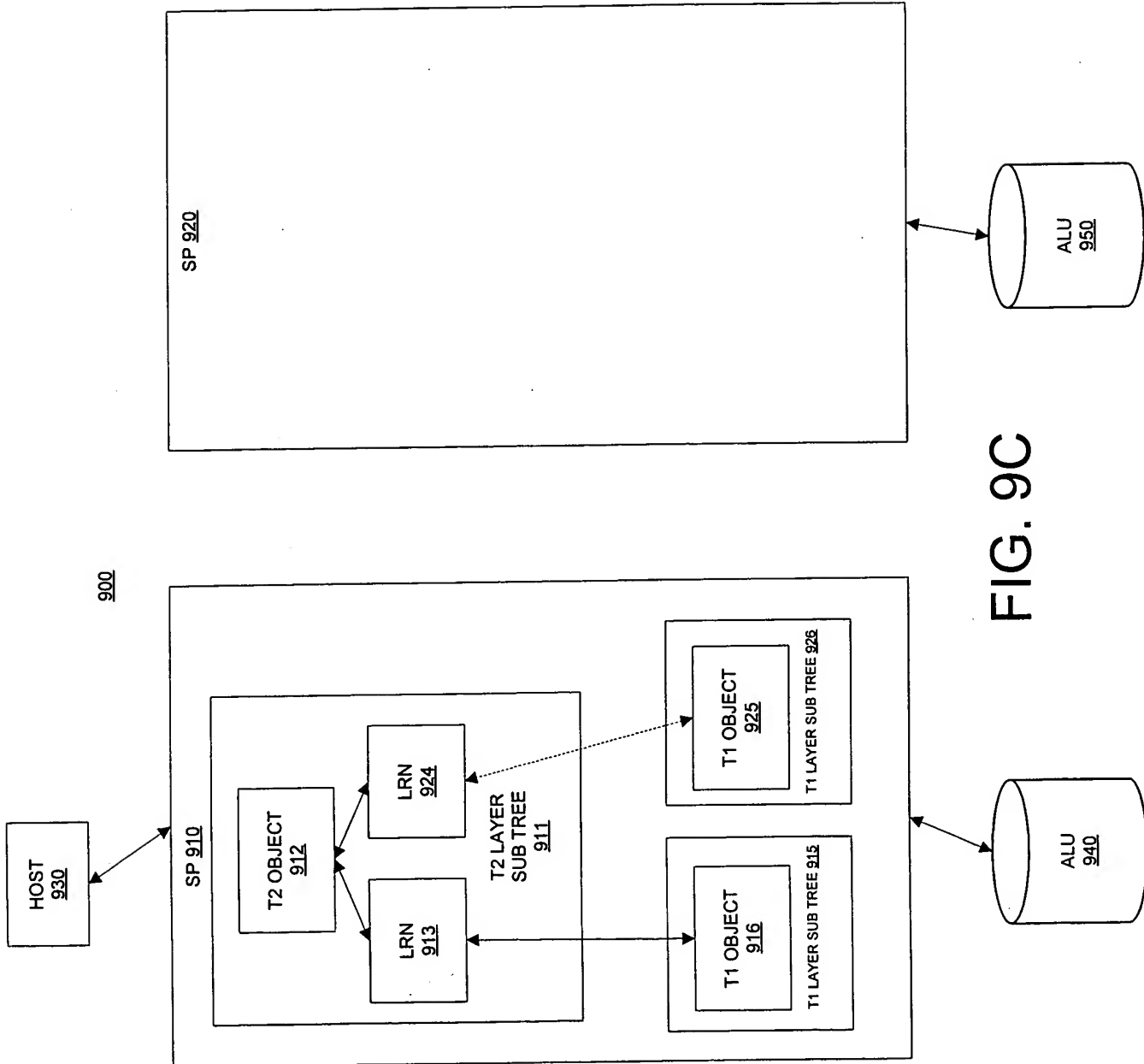


FIG. 9C

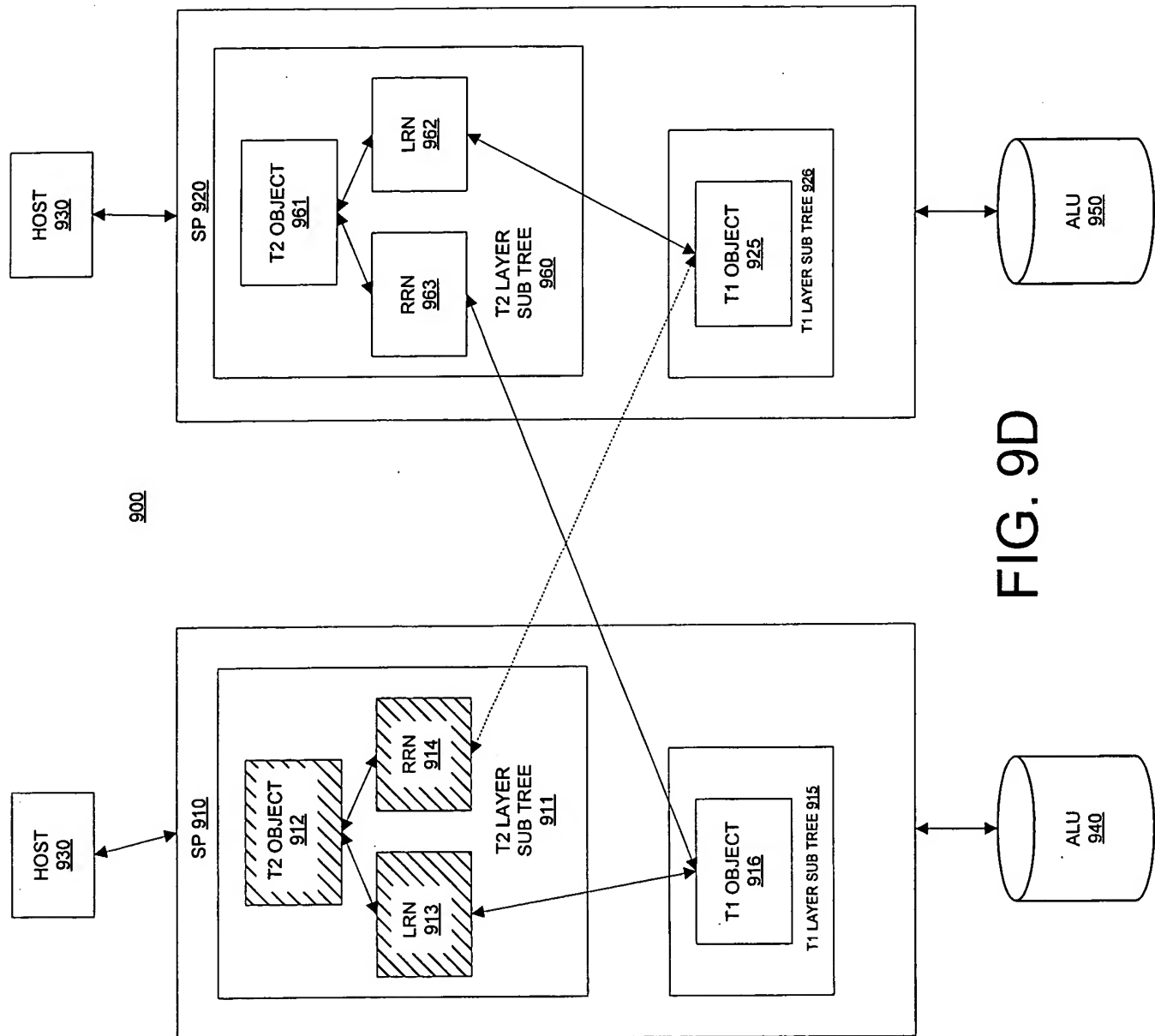
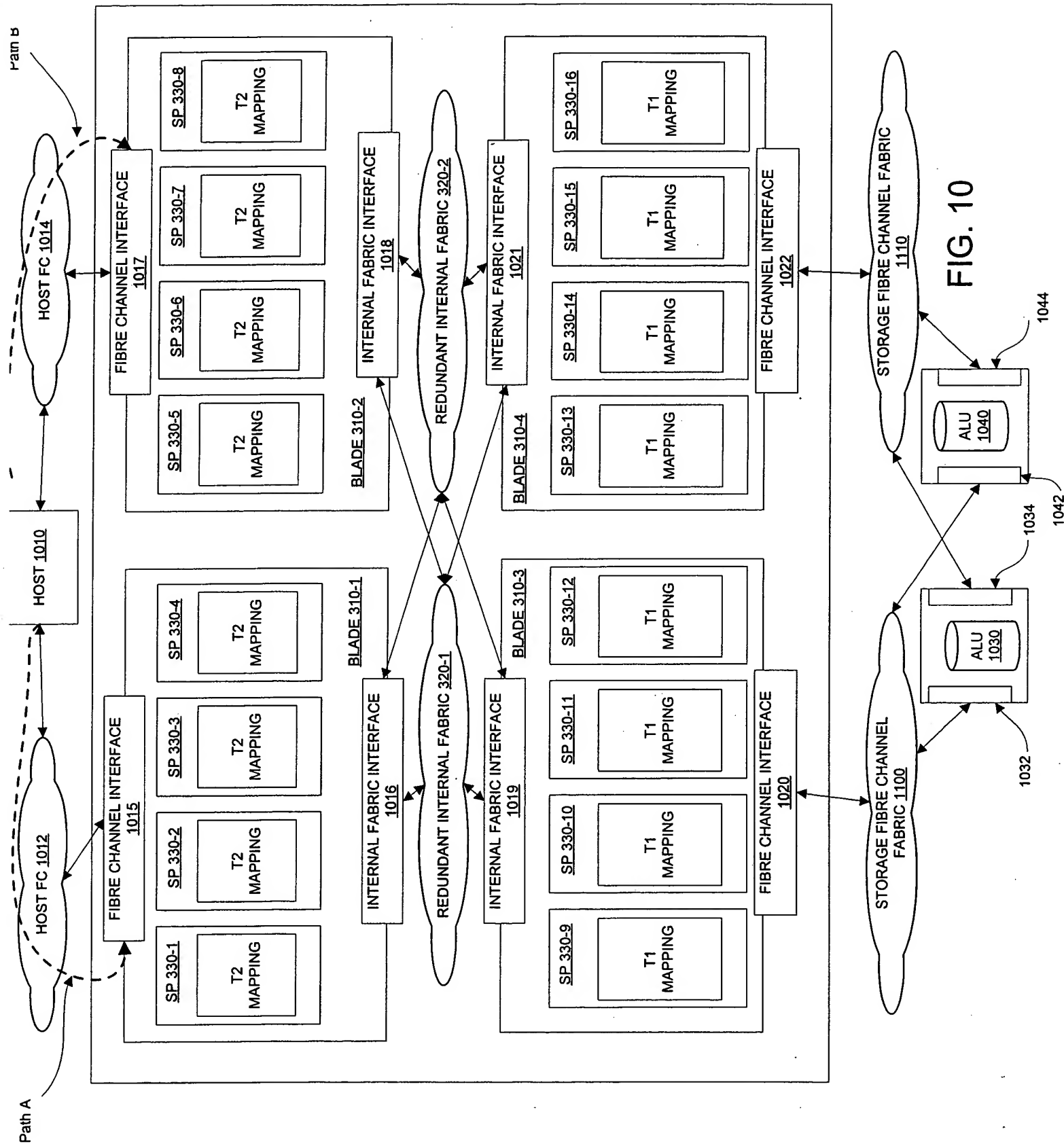


FIG. 9D

Path B



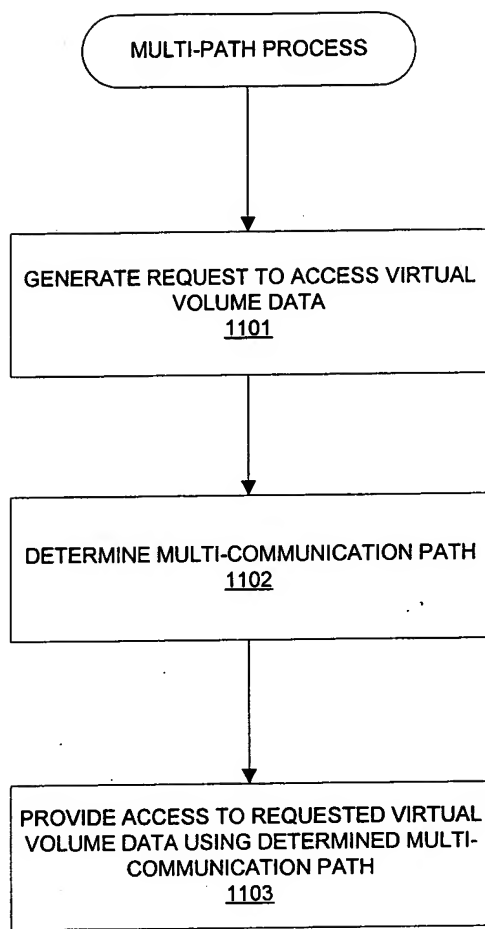


FIG. 11

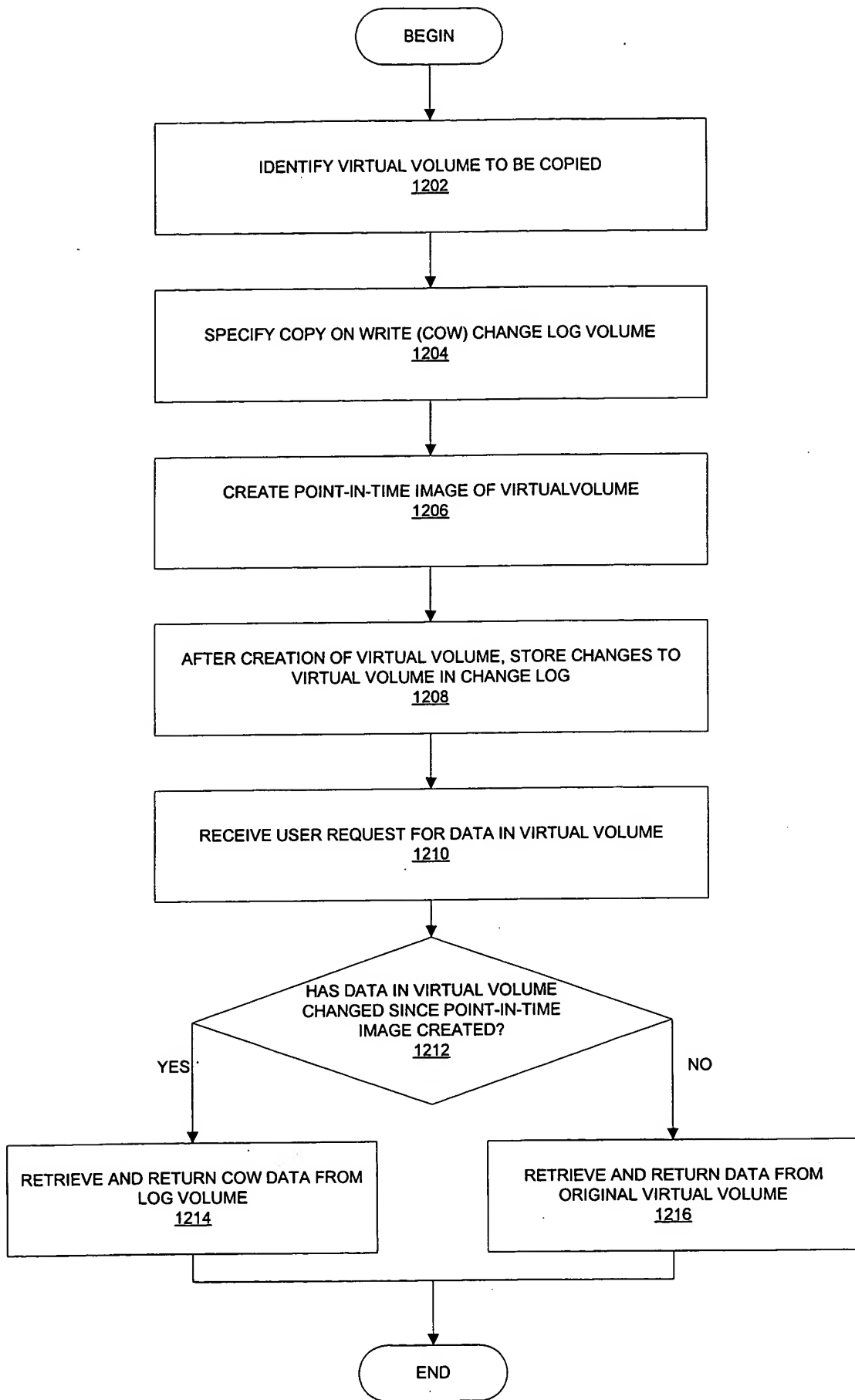


FIG. 12

1300

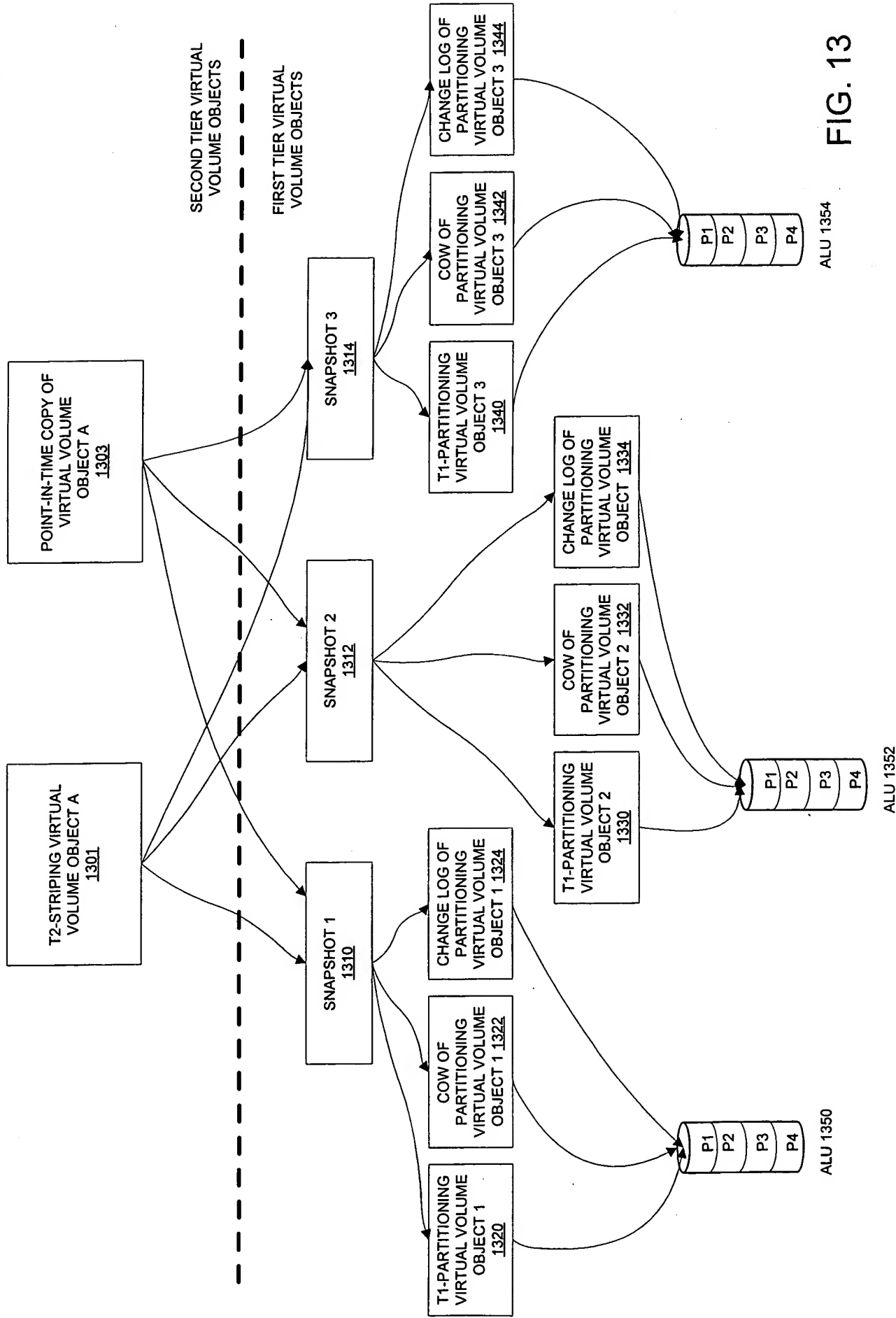


FIG. 13

ALU 1354

ALU 1352

ALU 1350

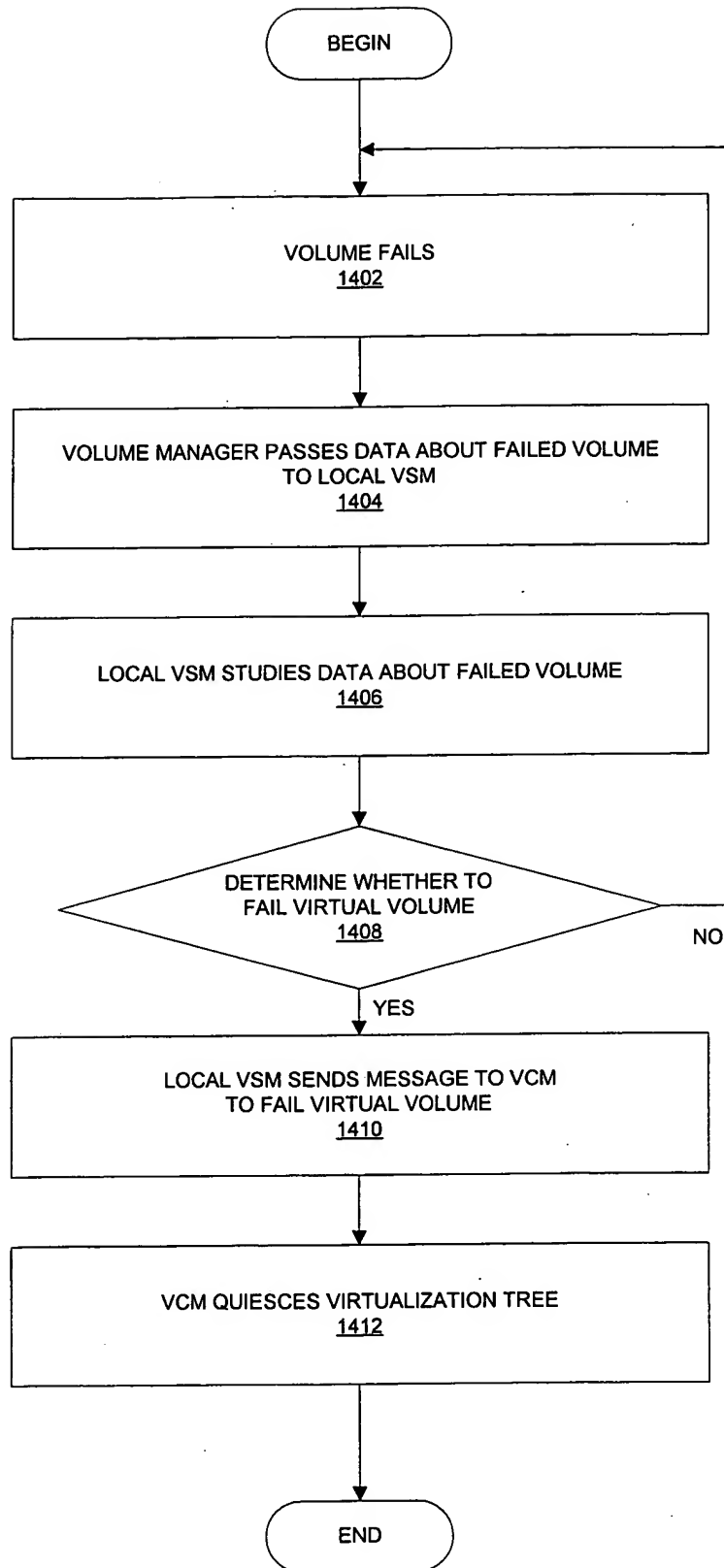


FIG. 14

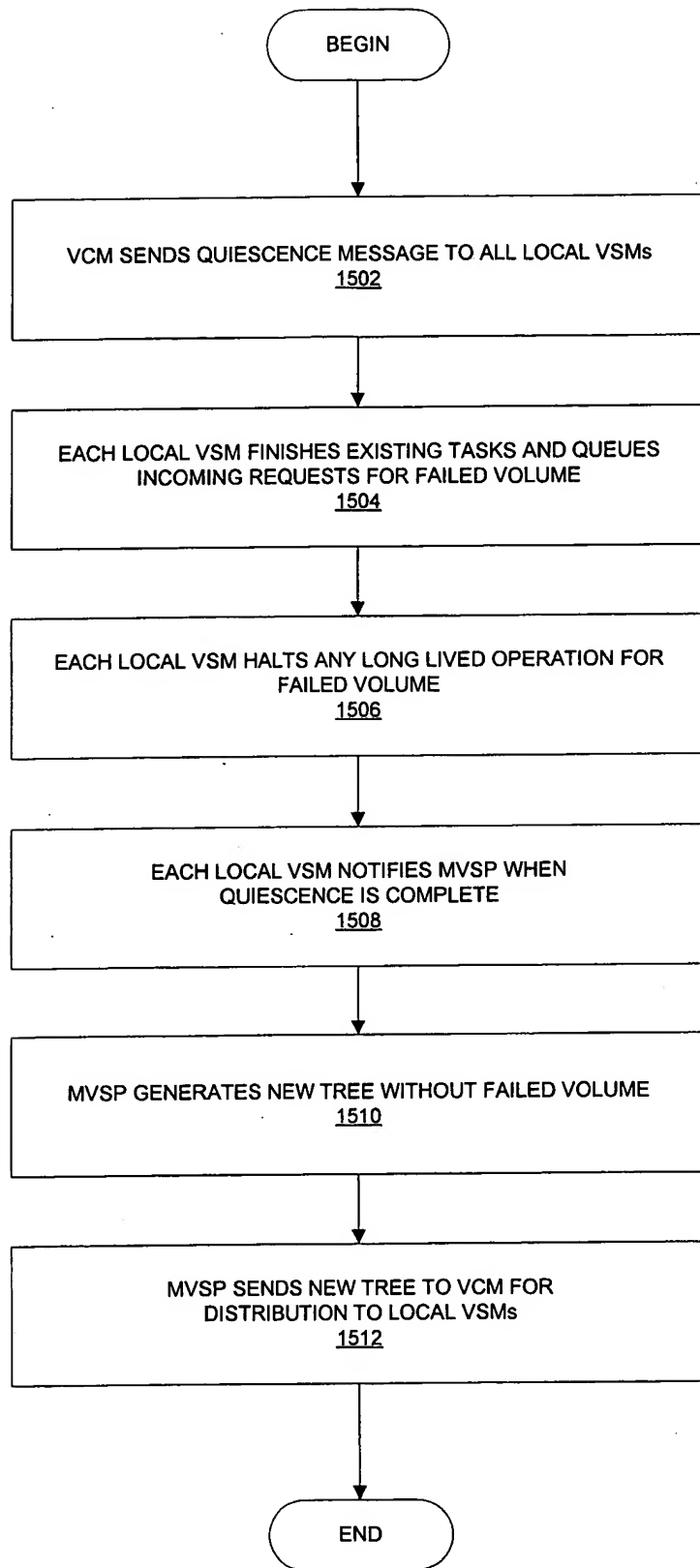


FIG. 15